•腹部疾病•

子宫内膜间质肉瘤的MRI表现(附8例报告)

福建医科大学附属漳州市医院影像科 (福建 漳州 363000) 王连金 詹阿来 苗庆文

【摘要】自的 分析子宫内膜间质肉瘤的MRI特点,提高该病的诊断水平。方法 回顾性分析我院经手术病理证实的子宫内膜间质肉瘤8例,讨论其MRI表现。结果 宫腔内息肉生长型2例,其中1例穿透子宫壁全层种植于腹盆腔肠管表面; 肌层肿块型1例; 肌层浸润型3例; 盆腔肿块型2例、均为肌瘤术后病例, 其中1例伴子宫肌层结节。实性肿瘤7例、2例伴坏死,囊实性肿瘤1例。肿瘤的实性成分在MRI的TIWI多呈等信号, T2WI多呈稍高信号, DWI信号明显增高,增强扫描强化明显。结论 子宫内膜间质肉瘤MR表现可分为四种类型: 息肉生长型、肌层肿块型、肌层浸润生长型、盆腔肿块型; 大多为实性肿块。当看到MR上有上述表现,特别是有浸润性生长表现,同时实性成分于DWI上信号明显增高、增强扫描明显强化的病例,应考虑子宫内膜间质肉瘤的可能。

【关键词】子宫内膜间质肉瘤;磁共振成像 (MRI)

【中图分类号】R711.32

【文献标识码】A

DOI: 10. 3969/j. issn. 1009-3257. 2016. 02. 012

MRI Findings of Endometrial Stromal Sarcomas: 8 Cases Report

WANG Lian-jin, ZHAN A-lai, HUANG Qing-wen. Department of Imaging, Zhangzhou Affiliated Hospital of Fujian Medical University

[Abstract] Objective To summarize the magnetic resonance imaging (MRI) features of endometrial stromal sarcomas and improve the diagnosis. Methods MRI findings of 8 cases of my hospital proved by pathology, discuss the imaging (MRI) findings. Results 2 cases were polypoid mass, 1 of these penetrated the wall of uterus and planted the surface of intestines in abdominal and pelvic cavity, 1 case was intramural mass;3cases was diffuse myometrial; 2 cases were huge pelvic mass,which both had a history of leiomyoma of uterus incision,1 of these with mural nodules .7 cases solid mass,2 of 5 with necrosis;1 case solid-cystic mass.On MRI images, the signal intensity of the solid component of mass was often iso-intense on T1-weighted images(T1WI) and little yperintensity on T2-weighted images (T2WI)and much hyperintensity on diffuse images (DWI),which enhanced obviously after the administration of the contrast medium. Conclusion The magnetic resonance imaging (MRI) findings of endometrial stromal sarcoma present 4 pattererns: polypoid mass in ,intramural mass,diffuse myometrial,huge pelvic mass. Most of endometrial stromal sarcomas are solidmass.When finding the imaging of above-menttioned,expecially with infiltrated developing, and the the solid components on diffuse images were much hyperintensity and enhanced obviously, may sugest thediagnosis of uterine endometrial stromal sarcoma.

[Key words] Endometrial Stromal Sarcomas; Magnetic Resonance Imaging

子宫内膜间质肉瘤 (endometrial stromal sarcomas, ESS)是一种少见的恶性肿瘤,约占所有子宫恶性肿瘤0.2%,占子宫肉瘤的10%~15%^[1]。国内外对其本病报道并不少见,但影像学方面的报道并不多见、尤其对MRI表现的报道更少。现收集我院自2010年至2015年10月经手术病理证实的ESS共8例,分析其MRI表现,提高术前诊断准确率。

1 材料与方法

1.1 一般资料 8例患者均为女性,年龄23~60 岁,平均年龄41岁; 2例已绝经; 1例围绝经; 5例为育龄女性,其中2例分别为子宫肌瘤剔除术后及子宫肌瘤行子宫全切术后病例,2例年龄小于30岁、其中1例为未婚未育女性。临床表现为绝经后阴道流血或流液2例,月经过多2例,腹痛2例,体检发现2例。实验室检查CA125升高3例。

1.2 设备及参数 8例腹部MR扫描采用飞利浦双 梯度Achieval 1.5T超导型MR系统;患者仰卧位,采

作者简介:王连金 女,医学影像学专业,主治医师,主要研究医学影像诊断学包括X线、CT及MRI诊断

通讯作者: 王连金

用腹部线圈,常规FSET2WI(包括冠状位、矢状位及横轴位)、FFET1WI、DWIBS,层厚/层距:5mm/1mm;增强使用钆喷提酸葡甲胺(Gd2DTPA)、经肘静脉注射,剂量0.1mmo1/kg、流速1.5m1/s,行横轴位及矢状位3D-增强扫描。

2 结 果

8例均为外科手术、病理证实为低分化ESS。2例 表现为宫腔内肿块,均累及子宫肌层,其中1例穿透 子宫壁全层种植干腹盆腔肠管表面, 并伴有大量腹 水; 1例表现为肌层内肿块,并见一小破口; 3例表现 为子宫肌层浸润性生长,突破浆膜外累及邻近一侧卵 巢固有韧带及脉管、并沿输尿管及卵巢静脉蔓延,2 例同时向内突向宫腔; 2例子宫肌瘤术后病例表现为 盆腔多发肿块, 肌瘤剔除术后病例者同时伴有子宫 肌层肿块、腹壁切口旁多发结节及肿块,2例病灶均 浸润邻近肠管或盆壁、输尿管,其中1例浸润髂内静 脉。肿块均较大,最大病灶均大于5cm。实性肿瘤7 例,囊实性1例。肿瘤实性成分在TIWI多呈等信号, T2WI 多呈等或稍高信号于肌层信号,伴有坏死时信号 不均呈混杂性: DWI上实性成分信号明显增高,增强 扫描实性成分呈明显强化,囊性成分于T2WI上信号明 显增高、于T1WI上呈稍低信号,增强扫描囊壁呈网格 线样明显强化。

3 计 论

3.1 病理特点 ESS是子宫肉瘤中的一种,可来源于成熟的子宫内膜间质细胞、也可来源于具有潜在内膜间质分化能力的细胞。局部浸润、脉管内瘤栓和易复发是其三大特点。瘤体质软,一般为黄色或淡黄色,肿瘤内血管丰富^[2]。传统病理上根据细胞核分裂数小于或大于10个每高倍视野分为低度恶性子宫内膜间质肉瘤(1ow-grade endometrial stromal sarcoma, LGESS)和高度恶性子宫内膜间质肉瘤(high-grade endometrialstromal sarcoma, HGESS)。2003世界卫生组织(WHO)将子宫内膜间质特瘤(ESTs)按组织学类型新分为:①子宫内膜间质结节(ESN);②低度子宫内膜间质肉瘤(LGESS);③未分化子宫内膜间质肉瘤(UES);ESN属于良性结节,低度恶性ESS相当于新分型中的第二类,通常表现为子宫肌层浸润及脉管宫旁组织受侵,复发率高,但较少出

现淋巴结转移^[3]; HGESS少见,5年存活率低,远侧转移及淋巴结转移多见^[4]。免疫组化有报道认为CD10是ESS最特异性抗体^[2]。本组病例8例均为LGESS,无1例出现淋巴结转移,CD10均为阳性,与上述相符。

- 3.2 **临床表现** 本病多见于育龄女性及中老年 妇女,相对于其它子宫恶性肿瘤而言,年轻女性多见^[3];本组8例中5例为育龄女性。临床表现无特异性,多因月经过多、阴道不规则流液或流血、绝经后阴道出血、腹痛或盆腔包块所致压迫症状而就诊。肿瘤可发生于宫体、宫腔,多同时受累;也可以在子宫内膜异位、子宫腺肌症中发生。子宫外的ESS较少见,发生部位与子宫内膜异位症好发部位相似^[2]。本组病例中2例发生于宫腔外者均为年轻女性,虽无明确的子宫内膜异位或子宫腺肌症病史,但均有肌瘤手术病史、不排除手术过程中引起的内膜异位。
- 3.3 影像学表现 ESS发病率较低,术前诊断有 一定困难,MRI是一种非侵袭性的检查方法,其组织 对比度高、能任意方位成像,平扫即能显示病灶的组 织学及形态学特征,增强扫描能显示肿瘤的血供特 征,同时DWI和ADC值的测量在子宫肉瘤的良恶性鉴 别上具有重要意义^[5],是ESS术前首选的检查方法, 在ESS诊断及鉴别诊断中发挥着重要的作用。通过复 习文献并结合我院8个病例, ESS的MRI征象主要有: (1)瘤体通常较大,最大径多超过5cm。(2)MRI根据组织 成分不同可分为实性、囊实性或囊性肿块。肿块实性 成分及囊性病灶内间隔于TIWI上类似于肌层信号、于 T2WI上稍高于肌层信号、于DWI上信号明显增高,肿 块可伴有出血、坏死; 本组7例表现为实性、2例伴坏 死,1例表现为囊实性。动态增强扫描肿块的实性部 分及囊性病灶间隔多呈明显、渐进性、向心性强化, 强化程度高于肌层[2]。我院8例未行动态增强扫描, 实性部分符合明显强化特点(见图1-12中增强扫描图 像)。(3)依据形态学及发生部分可分为4种类型:宫腔 息肉生长型:表现为基底较宽、突向宫腔内的软组织 肿块,通常有肌层浸润、与肌层分界欠清,甚至穿透 肌层累及宫旁组织;本组有2例(见图1-4),其中1例 穿透宫壁全肌累及宫腔外、种植于腹盆腔。肌层浸润 生长型: 表现为子宫肌层浸润生长的肿块, 边界不 清,常累及子宫内膜、也可沿脉管及突破浆膜层累及 宫旁组织, 该型病变的肿瘤细胞多来源于肌层内的具 有潜在分化能力的细胞,而非子宫内膜;本组病例 此型最多、有3例,其中2例直接浸润子宫内膜(见图 5-8)。盆腔肿块型:其发生部分与子宫内膜异位好发

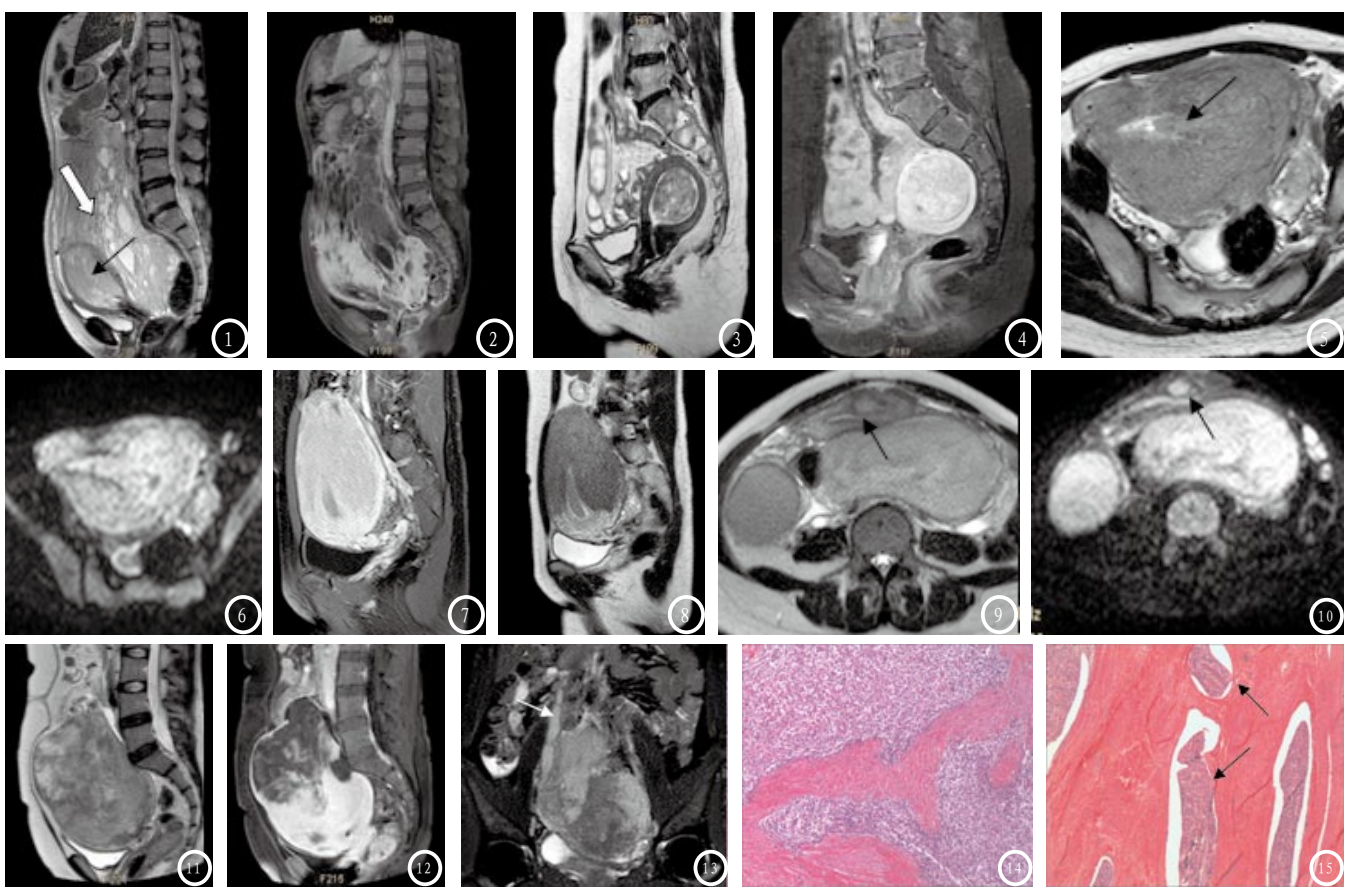


图1-4均为60岁绝经后女性,官腔息肉型,图1、3和图2、4分别为T2WI及增强图象,其中图1-2为囊实性肿块、部分层面穿透子官全层累及官腔外并腹盆腔种植,并大量腹水,细箭所指为官腔内病灶、粗箭所指为官腔外病灶;图3-4呈实性;实性及囊性间隔明显强化。图5-8为23岁未婚未育病例,肌层浸润型、并直接浸润子官内膜(箭头所指),图5-8分别为横断位T2WI、DWI、失状位增强扫描及T2WI、DWI上为明显高信号、增强扫描明显强化。图9-10为28岁子官肌瘤剔除术后病例,盆腔肿块型,分别为T2WI及DWI图象,盆腔多发肿块,同时伴有子官肌层结节(箭头所指),T2WI上呈稍高信号、DWI上信号明显增高。图11-12为38岁,肌层肿块型,分别为T2WI及增强扫描图像,官底巨大肿块,上缘见一破口,官腔受压向下移位、与肿块界限欠清,实性成分呈明显强化,并见无强化坏死区。图13-15中箭头所指为右卵巢静脉内癌栓,图14中显示同一病例病理平滑肌组织中大量子官内膜间质细胞、图15中箭头所指显示脉管内大量瘤栓(HE×40)。

部位相似,常同时伴有子宫肌层内结节或肿块(见图 9-10)。肌层肿块型:表现为肌层内肿块,边界相对浸润型清楚、但无包膜,肿块局部紧贴宫腔、两者界限通常欠清,尚可见内膜结构(见图11-12)。Koyama T^[6]认为肿块延着血管、脉管或韧带扩散是ESS特征之一,本组5例符合上述特点。Samia Gabal等报道1例 LGESS 经静脉侵犯至心脏^[7],本组3例均见脉管癌栓(见图13-15)。(4)ESS可以在子宫腺肌症,子宫内膜异位症的基础上发生^[2];我院8例均未见子宫腺肌症或子宫内膜异位征象,但2例曾行子宫肌瘤手术,未能完全排除手术所致子宫内膜异位。

3.4 鉴别诊断 (1)宫腔内肿块型主要应与子宫内膜息肉、子宫内膜癌鉴别;典型的息肉表现为边界清楚的宫腔内肿块、蒂一般较细、与肌层边界清楚,而 ESS其形态较不规则、基底部较宽、通常有浅肌层浸润;子宫内膜癌于T2WI上信号相对较低,强化不及 ESS明显。(2)肌层肿块型主要与子宫腺肌瘤、子宫平

滑肌肉瘤及不典型子宫肌瘤鉴别。子宫腺肌瘤也可表 现为无明显边界的类似肿块影,但在T1WI上及T2WI上 其信号比肌层信号低,伴有出血时例外[8],在临床上 通常有周期性腹痛症状。不典型子宫肌瘤及子宫平滑 肌肉瘤有时与肌层肿块型ESS难以鉴别; 但子宫肌瘤 无浸润性表现; 平滑肌肉瘤通常可见假包膜、囊变坏 死较ESS更常见,且淋巴结转移多见,而ESS多表现为 直接浸润,淋巴结转移少见。(3)肌层浸润生长型主要 与子宫腺肌症相鉴别,子宫腺肌症一般表现为肌层弥 漫性受累,在T1WI和T2WI上其信号比肌层信号低,其 典型的临床症状是周期性腹痛。两者比较容易鉴别。 (4)盆腔肿块型主要与卵巢原发恶性肿瘤及盆腔转移瘤 鉴别。ESS除原发于卵巢外,卵巢大多正常,且常同 时伴有子宫肌层内结节或肿块: 而卵巢ESS极罕见、 且多双侧出现,常与子宫内膜异位密切相关[9]。盆腔 转移瘤有相关病史, 腹水常见。